

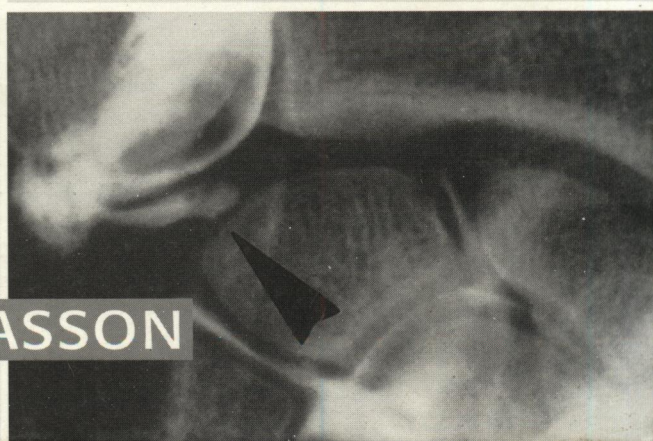
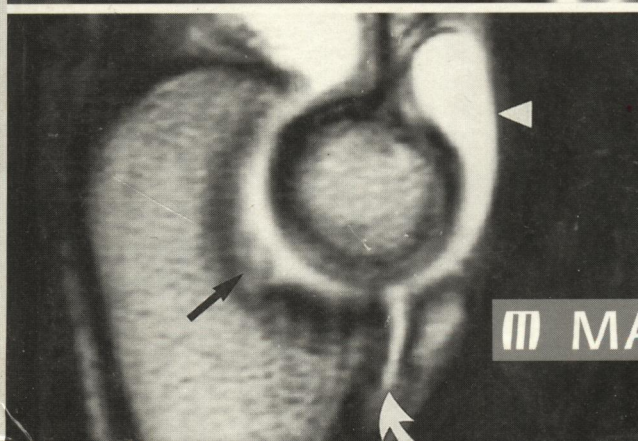
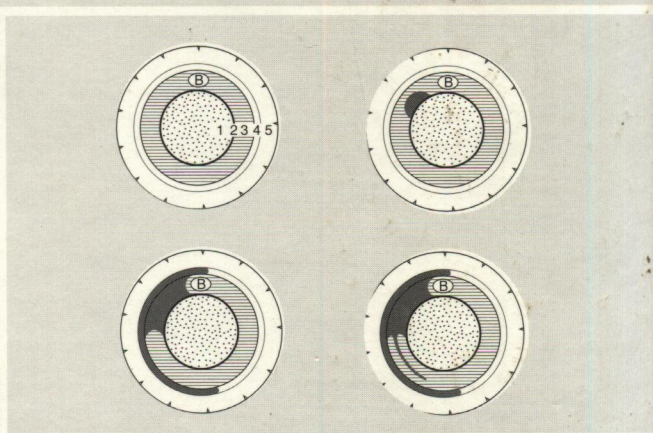
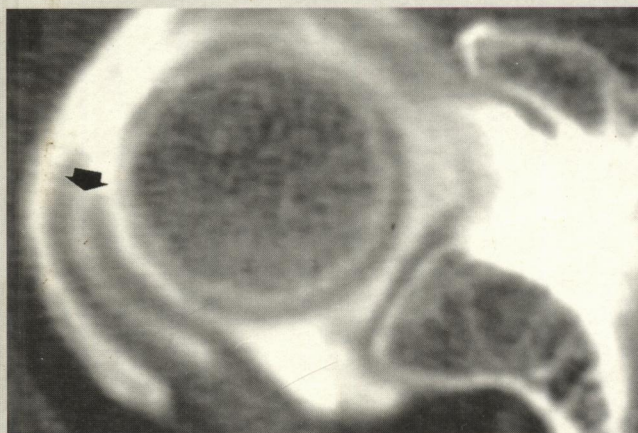
Collection d'imagerie radiologique

Arthrographie, arthroscanner, arthro-IRM

Membre supérieur et tronc

J.-D. LAREDO

J. BERNAGEAU, P. CHAMPSAUR, V. CHICHEPORTICHE, A. COTTEN, X. DEMONDION,
C. DUMONTIER, D. FOLINAIS, D. GALY-FOURCADE, B. HAMZE, H. LELLOUCHE,
P. MATHIEU, G. MORVAN, C. PARLIER-CUAU, J.-J. RAILHAC, N. SANS, P. THELEN,
M. WYBIER, F. ZEITOUN, M.-B. ZLATKIN




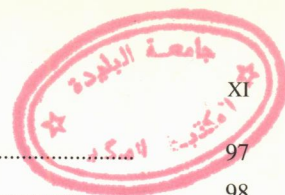
 MASSON

TABLE DES MATIÈRES

<i>Avant-propos</i>	VII
CHAPITRE 1. — <i>Discographie, disco-scanner et arthrographies cervicales,</i> par G. MORVAN, P. MATHIEU	1
<i>Arthrographie zygapophysaire</i>	1
Anatomie (1). Indications (2). Technique (2). Résultats normaux et pathologiques (4). Conseils pratiques (5).	
<i>Arthrographie de l'articulation odonto-atloïdienne</i>	5
Anatomie (5). Indications (5). Technique (5). Résultats normaux et pathologiques (6).	
<i>Arthrographie des articulations latérales C1/C2</i>	6
Anatomie (6). Indications (6). Technique (7).	
<i>Discographie cervicale</i>	9
Indications (9). Technique (9).	
CHAPITRE 2. — <i>Discographie, disco-scanner et arthrographies lombaires et thoraciques,</i> par P. CHAMPSAUR, C. PARLIER-CUAU, B. HAMZE, J.D. LAREDO	13
<i>Discographie et disco-scanner lombaires et thoraciques</i>	13
<i>Anatomie du disque intervertébral</i>	13
<i>Technique</i>	14
Matériel (14). Préparation et prémédication (14). Radiographies avant la discographie (14). Abord des disques intervertébraux (14). Cas particulier de la ponction du disque L5-S1 (18). Contrôle radiographique de la position de l'aiguille (19). Disco-scanner (20). Rachis thoraci- que (20).	
<i>Résultats</i>	20
Aspects morphologiques du discogramme et du disco-scanner (20). Valeur diagnostique de la reproduction de la douleur lors de la discographie (24).	
<i>Indications</i>	27
<i>Complications</i>	27
<i>Conclusion</i>	27
<i>Arthrographies articulaires postérieures lombaires</i>	29
<i>Anatomie descriptive et fonctionnelle</i>	29
<i>Technique</i>	30
<i>Clichés à réaliser</i>	30

<i>Aspect normal</i>	30
Cavité articulaire (30). Récessus articulaire (31).	
<i>Aspects pathologiques</i>	32
Pathologie dégénérative (32). Communication interarticulaire (34). Arthrite rhumatismale (35). Arthrite septique (36). Effets indésirables et complications (36).	
CHAPITRE 3. — <i>Arthrographie et arthroscanner de l'articulation sacro-iliaque</i> , par M. WYBIER	39
<i>Anatomie</i>	39
<i>Technique</i>	40
Arthrographie (40). Arthroscanner (42).	
<i>Résultats</i>	42
<i>Indications</i>	43
CHAPITRE 4. — <i>Arthrographie et arthroscanner des petites articulations du tronc</i> , par M. WYBIER	45
<i>Articulation acromio-claviculaire</i>	45
Anatomie (45). Technique arthrographique (45). Résultats (46). Indications (46).	
<i>Articulation sterno-claviculaire</i>	46
Anatomie (46). Technique arthrographique (47). Résultats (47). Indications (48).	
<i>Articulation costo-vertébrale</i>	49
Anatomie (49). Technique arthrographique (50). Résultats (51). Indications (51).	
<i>Symphyse pubienne</i>	52
Anatomie (52). Technique arthrographique (52). Résultats (53). Indications (53).	
<i>Néo-articulation transverso-pelvienne</i>	54
CHAPITRE 5. — <i>Arthrographie et arthroscanner de l'épaule</i> , par J. BERNAGEAU, J.-D. LAREDO, V. CHICHEPORTICHE	57
<i>Rappel anatomique</i>	57
<i>Technique</i>	59
Arthrographie (60). Arthroscanner (60). Incidents et accidents (61).	
<i>Coiffe des rotateurs</i>	61
Résultats normaux (62). Résultats pathologiques (69). Résultats du bilan lésionnel (79). Examen postopératoire (80). Indications et conclusion (80).	
<i>Labrum glénoïdien</i>	81
Résultats normaux (81). Résultats pathologiques (83). Examen postopératoire (88). Indications et valeurs de l'arthroscanner (88). Conclusion (89).	
CHAPITRE 6. — <i>Arthro-IRM de l'épaule</i> , par M.B. ZLATKIN	93
<i>Technique et séquences</i>	93
<i>Anatomie générale de l'épaule</i>	95



<i>Arthro-IRM normale</i>	97
<i>Variantes anatomiques et causes d'erreurs</i>	98
Tendons de la coiffe des rotateurs (98). Labrum et capsule (98).	
<i>Lésions de la coiffe des rotateurs</i>	99
Physiopathologie (99). Aspects IRM (99).	
<i>Instabilité de l'épaule</i>	102
Instabilité antérieure (103). Pathogénie (103). Subluxation antérieure avec conflit sous-acromial (104). Anomalies osseuses (104). Lésions du labrum (104). Lésions capsulaires (106). Instabilité postérieure (108).	
<i>Épaule opérée</i>	109
<i>Autres affections</i>	111
CHAPITRE 7. — <i>Bursographie sous-acromiale</i> , par D. GALY-FOURCADE, N. SANS, J.-J. RAILHAC	117
<i>Rappel anatomique et biomécanique</i>	117
<i>Étude clinique</i>	118
<i>Technique</i>	118
<i>Résultats normaux</i>	120
<i>Indications et résultats pathologiques</i>	120
Ruptures superficielles de la coiffe des rotateurs (120). Maladies des calcifications tendineuses (122). Algodystrophie et rétractions capsulaires (122). Rhumatismes inflammatoires (122). Bursites septiques ou infectieuses (122). Hémodialyse et amylose (123). Chondromatose et ostéochondromatose synoviale (123). Tumeurs et pseudo-tumeurs synoviales (123).	
<i>Conclusion</i>	123
CHAPITRE 8. — <i>Arthrographie et arthroscanner du coude</i> , par D. FOLINAIS, P. THELEN	125
<i>Anatomie articulaire</i>	125
Articulations (125). Renforts capsulo-ligamentaires (127).	
<i>Technique arthrographique</i>	129
Ponction articulaire (129). Les clichés (131).	
<i>Résultat normal</i>	134
<i>Indications</i>	136
<i>Résultats pathologiques</i>	136
Mécanismes lésionnels (136). Anomalies des surfaces articulaires (137). Séquelles fracturaires (139). Lésions capsulo-ligamentaires et tendineuses traumatiques et microtraumatiques (140). Parties molles périarticulaires (141). Autres affections (142).	
<i>Conclusion</i>	142
CHAPITRE 9. — <i>Arthro-IRM du coude</i> , par A. COTTEN, X. DEMONDION	145
<i>Technique</i>	145
<i>Indications et résultats</i>	145
Recherche de corps étrangers intra-articulaires (145). Étude ligamentaire (146). Étude cartilagineuse (148).	

CHAPITRE 10. — Arthrographie et arthroscanner du poignet , par F. ZEITOUN, C. DUMONTIER	151
<i>Anatomie utile</i>	151
Squelette osseux (151). Ligaments du poignet (151). Complexe fibrocartilagineux triangulaire du carpe (TFCC) (153). Compartiments du poignet (153).	
<i>Technique</i>	153
Arthrographie (153). Arthroscanner (155).	
<i>Résultats normaux</i>	155
Arthrographie médiocarpienne (155). Arthrographie radio-ulnaire distale (155). Arthrographie radio-carpienne (155). Arthroscanner (156).	
<i>Aspects pathologiques</i>	158
Communication entre les compartiments médiocarpien et radio-carpien (158). Anomalies du TFCC (162). Syndrome d'hyperpression ulno-carpien (165). Kystes synoviaux (165). Fracture du scaphoïde (165). Fracture articulaire de l'extrémité inférieure des deux os de l'avant-bras (165). Capsulite rétractile (167). Nécrose de l'os lunaire (167). Synovite (polyarthrite rhumatoïde et autres synovites) (168). Pathologies diverses (169).	
CHAPITRE 11. — Arthro-IRM du poignet , par F. ZEITOUN, C. DUMONTIER	173
<i>Indications</i>	173
<i>Technique</i>	174
Voie d'administration (174). Produit de contraste (174). Injection (174). Arthro-IRM (174).	
<i>Aspects normaux</i>	175
Ligament scapho-lunaire (175). Ligament luno-triquétral (175). Complexe fibrocartilagineux triangulaire du carpe (176). Ligaments capsulaires (176).	
<i>Perforations ligamentaires</i>	176
Signes indirects (177). Signes directs (177).	
CHAPITRE 12. — Arthrographie des doigts , par H. LELLOUCHE	181
<i>Anatomie</i>	181
<i>Technique</i>	181
Matériel et conditions (181). Ponction (182). Incidences radiologiques (182).	
<i>Résultats</i>	182
Arthrographie normale (182). Arthrographie pathologique (182).	
<i>Index</i>	185